

Referências bibliográficas

ASSIS, A.P. **A Method for Evaluating the Transient Creep of Potash.** Tese de doutorado, 459 pp. Universidade de Alberta. 1990.

BAAR, C.A. **Applied Salt-Rock Mechanics I, The In-Situ Behavior of Salt Rocks: Developments in Geotechnical Engineering.** Elsevier, Amsterdam, 294 pp. 1977.

BARKER, J.W.; MEEKS. **Estimating Fracture Gradient in Gulf of Mexico Deepwater, Shallow, Massive Salt Sections.** Paper SPE 84552 Annual Technical Conference and Exhibition, Denver, Colorado, U.S.A., 5-8 October.

BOTELHO, F.V.C. **Análise Numérica do Comportamento Mecânico do Sal em Poços de Petróleo.** Dissertação de Mestrado, 211 pp. PUC-Rio. 2008.

BRADLEY, W.B. **Failure of Inclined Boreholes.** J. of Energy Resources Tech., 232-239. 1979.

BOURGOYNE JR., A.T.; CHENEVERT, M.; MILLHEIM, K.K.; YOUNG JR., F.S. 1986. **Casing Design.** In Applied Drilling Engineering, SPE, ed. J. Evers and D. Pye, p. 300–350.

CARTER, N.L.; HORSEMAN, S.T.; RUSSELL, J.E.; HANDIN, J. **Rheology of Rocksalt.** Journal of Structural Geology. Vol. 15, No. 9/10, 1993. p. 1257-1271.

CHANG, H.K.; KOWSMANN, R. O.; FIGUEIREDO, A. M. F.; BENDER, A. A. **Tectonics and stratigraphy of the East Brazil Rift system: an overview.** Tectonophysics (213): 97-138. 1992.

COSTA, A.M. **Uma aplicação de Métodos Computacionais e Princípios de Mecânica das Rochas no Projeto e Análise de Escavações Destinadas a Mineração Subterrânea.** Tese de Doutorado, 1488 pp. UFRJ. 1984.

COSTA, A.M.; POIATE Jr., E.; FALCÃO, J.L.; COELHO L.F.M. **Triaxial Creep Tests in Salt Applied in Drilling Through Thick Salt Layers in Campos Basin – Brazil.** Paper SPE 92629 presented at the SPE/IADC Drilling Conference, Amsterdam, The Netherlands, 23-25 February 2005.

COSTA, A.M.; POIATE Jr. **Rocha Salina na Indústria do Petróleo: aspectos relacionados a reologia e a perfuração de rochas salinas.** Do livro Sal: Geologia e Tectonica, 2009, p. 362-385. 2a Edição. Editora Beca.

COSTA, A.M.; POIATE JR, E.; AMARAL, C.S.; GONÇALVES, C.J.C; FALCÃO, J.L.; PEREIRA, A. **Geomechanics applied to the well design through salt layers in Brazil: A History of success.** 44th US Rock Mechanics Symposium and 5th U.S.-Canada Rock Mechanics Symposium, held in Salt Lake City, UT June 27–30, 2010, ARMA 10-239.

DAWSON, P.R.; MUNSON, D.E. **Numerical Simulation of Creep Deformations Around a Room in a Deep Potash Mine.** Int. J. Rock. Mech. Sci. & Geomech. Vol.20, No. 1, pp. 33-42. 1983.

DESAI, C.S.; SIRIWARDANE, H.J. 1984. **Constitutive laws for engineering materials with emphasis on geologic materials.** 468 pp. New Jersey: Prentice-Hall, Inc.

DASSAULT SYSTÈMES. **ABAQUS Version 6.9. Documentation.**

DOWLING, N.E. **Mechanical Behavior of Materials.** Engineering Methods for Deformation, Fracture, and Fatigue, second edition, 830. 1999. Upper Saddle River, New Jersey: Prentice-Hall.

DUSSEAULT, M.B. **Alaska Rocks Course on Earth Stresses and Drilling Rock Mechanics - Module H - Stresses and Drilling in and Around Salt Structures.** University of Waterloo and Geomec a.s. 2005.

FINDLEY, W.N.; LAI, J.S.; ONARAN, K. **Creep and Relaxation of Nonlinear Viscoelastic Materials**. North-Holland Publishing Company. 1976.

FOSSUM, A. F.; FREDERICH, J.T. **Salt Mechanics Primer for Near-Salt and Sub-Salt Deepwater Gulf of Mexico Field Developments**. Sandia Report SAND2002-2063. Sandia National Laboratories. 2002.

FREDRICH, J.T.; COBLENTZ, D.; FOSSUM, A.F.; THOME, B.J. **Stress Perturbations Adjacent to Salt Bodies in the Deepwater Gulf of Mexico**. Paper SPE 84554 presented at the SPE Annual Technical Conference and Exhibition, Denver, Colorado, U.S.A., 5-8 October 2003.

GNIRK, P.F.; JOHNSON, R.E. **The Deformational Behavior of a Circular Mine Shaft Situated in a Viscoelastic Medium under Hydrostatic Stress**. Proc. 6th Rock Mechanics Symposium, p. 233-259, 1964.

GOODMAN, R.E. **Introduction to Rock Mechanics**. John Wiley & Sons. p. 202-217, p. 250-256. Second Edition. 1989.

GRAY, K.E.; PODNOS, E.; BECKER, E. **Finite Element Studies of Near-Wellbore Region during Cementing Operations: Part I**. Paper SPE 106998 presented at the 2007 SPE Production and Operations Symposium held in Oklahoma City, Oklahoma, U.S.A., 31 March-3 April 2007.

HAAS, J.L. JR.; LORENZ, J.; CLYNNE, M.A.; POTTER, II R.W.; SCHAFFER, C.M. **Chapter 1: Geology, Mineralogy, and Some Geophysical and Geomechanical Properties of Salt Deposits**. Physical Properties Data for Rock Salt. U.S. Department of Commerce, National Bureau of Standards. L.H. Gevantman, Editor. Janeiro 1981.

JAEGER, J.C.; COOK, N.G.W. **Fundamentals of Rock Mechanics**. Chapman and Hall Ltd and Science Paperbacks, p. 292-309. 1971.

JEREMIC, M.L. **Rock Mechanics in salt mining**. A.A. Balkema, Rotterdam 1994, p. 166-198. ISBN 90-5410-103-2.

JO, H. 2008. **Mechanical Behavior of Concentric and Eccentric Casing, Cement, and Formation Using Analytical and Numerical Methods.** PhD thesis, The University of Texas at Austin.

KUPFER, D.H. **Boundary shear zones in salt rocks.** In IV Symp. Salt, Houston, USA, p. 215-225. 1974.

LAMA, R.D.; VUTUKURI, V.S. **Handbook on Mechanical Properties of Rocks – Testing Techniques and Results.** Trans Tech Publications, p. 209-311. 1978.

MACKAY, F.; INOUE, N.; FONTOURA, S.A.B. **Geomechanical Effects of a 3D Vertical Salt Well Drilling by FEA.** San Francisco 2008, the 42nd US Rock Mechanics Symposium and 2nd U.S.-Canada Rock Mechanics Symposium, held in San Francisco, June 29-July 2, 2008, ARMA 08-041.

MEDEIROS, F.A.S. **Análise do Comportamento de Colunas de Revestimento Frente à Movimentação do Sal em Poços de Petróleo.** Dissertação de Mestrado, 155 pp. PUC-Rio. 1999.

MUNSON, D.E. **Constitutive Model of Creep in Rock Salt Applied to Underground Room Closure.** Int. J. Rock Mech. Min. Sci. Vol. 34, No. 2, , Elsevier Science Ltd.1997. p. 233-247.

MUNSON, D.E. **Constitutive Model of Creep in Polycrystalline Halite Based on Workhardening and Recovery.** Sandia National Laboratories, Albuquerque, NM 87185.

MUNSON, D.E.; P.R. DAWSON. **Salt Constitutive Modeling using Mechanism Maps.** 1st International Conference on the Mechanical Behavior of Salt, Trans Tech Publications, 1981. p. 717-737.

MUNSON, D.E.; DEVRIES K.L. **Development and Validation of a Predictive Technology for Creep Closure of Underground Rooms in Salt.** In Seventh International Congress on Rock Mechanics. Vol 1, p. 127-134, Aachen/Deutschland. 1991.

MUNSON, D.E.; FOSSUM, A.F.; SENSENY P.E. **Approach to First Principles Model Prediction of Measured WIPP (Waste Isolation Pilot Plant) In-Situ Room Closure in Salt.** Tunnelling and Underground Space Technology. Vol. 5, No. 1/2, p. 135-139, 1990.

NELSON, E.B. 1990. **Well Cementing.** 2nd ed. Schlumberger Educational Services. Sugar Land, Texas (1990).

OLIVEIRA, J.E.; IDAGAWA, L.S.; NOGUEIRA, E.C. **Evaporitos na Bacia de Campos, Aspectos Geológicos e Problemas de Perfuração,** PETROBRAS/CENPES-475, 1985.

ODQVIST, F.K.G. **Mathematical Theory of Creep and Creep Rupture.** 2. ed. Oxford at the Clarendon Press., 200 pp., 1974.

PATTILLO, P.D.; KRISTIANSEN, T.G. Analysis of Horizontal Casing Integrity in the Valhall Field. SPE 78204. SPE/ISRM Rock Mechanics Conference, held in Irving, Texas, 20-23 October 2002.

PFEIFLE, T.W.; MELLEGARD, K.D.; SKAUG, N.T.; BRUNO, M.S. 2001. **An Investigation of the Integrity of Cemented Casing Seals with Application to Salt Cavern Sealing and Abandonment.** DOE/FEW 3392-2, Sandia National Laboratories, Albuquerque, New Mexico.

POIATE JR. E.; COSTA A.M.; FALCÃO J.L. **Well Design for Drilling Through Thick Evaporite Layers in Santos Basin – Brazil.** Paper IADC/SPE 99161 presented at the IADC/SPE Drilling Conference held in Miami, Florida, U.S.A. February. 2006.

POIATE JR. E.; COSTA A. M.; FALCÃO J.L. **Drilling Brazilian Salt-1, Petrobras Studies Salt Creep and Well Closure.** Oil & Gas Journal; Jun 5, 2006; 104,21; ABI/INFORM Global p. 36-45.

SHAKOOR, A.; HUME, H.R. **Chapter 3: Mechanical Properties.** Physical Properties Data for Rock Salt. U.S. Department of Commerce, National Bureau of Standards. L.H. Gevantman, Editor. Janeiro 1981.

SOBOLIK, S. R.; BEAN, J. E.; EHGARTNER, B. L. **Application of the Multi-Mechanism Deformation Model for Three-Dimensional Simulations of Salt Behavior for the Strategic Petroleum Reserve.** 44th US Rock Mechanics Symposium and 5th U.S.-Canada Rock Mechanics Symposium, held in Salt Lake City, UT June 27–30, 2010, ARMA 10-403.

TOMKINS R.P.T. **Chapter 2: Physical and Chemical Properties of Components in Salt Deposits.** Physical Properties Data for Rock Salt. U.S. Department of Commerce, National Bureau of Standards. L.H. Gevantman, Editor. Janeiro 1981.

URAI, J.L.; SPIERS C.J. **The effect of grain boundary water on deformation mechanisms and rheology of rocksalt during long-term deformation.** In Proceedings of the 6th Conference on the Mechanical Behavior of Salt, 'SALTMECH6', Hannover, Germany, 22-25 May 2007, eds. M. Wallner et al., p. 149-158. 2007.

VÁZQUEZ, M.; LÓPEZ E. **El Método de los Elementos Finitos aplicado al análisis estructural.** Editorial Noela – Madrid, España. 499 pp. ISBN 84-88012-06-3.

WILLSON, S.M.; FREDRICH J.T. **Geomechanics Considerations for Through and Near Salt Well Design.** Paper IADC/SPE 95621 presented at the 2005 SPE Annual Technical Conference and Exhibition, Dallas, Texas, U.S.A. 9-12 October. 2005.

ZIENKIEWICZ, O.C. **El Método de los Elementos Finitos.** Editorial Reverté. S.A.-Barcelona, España. 903 pp. ISBN 978-84-291-4894-7.

Apêndice

A. Algoritmo explícito de Euler

Este material foi reproduzido a partir da tese de doutorado de Alvaro Costa (Costa, 1984). A aplicação deste algoritmo no presente trabalho é restrito ao tratamento de materiais com lei constitutiva visco-elástica. A título de desenvolvimento do algoritmo será utilizada a lei de fluência empírica da equação A.1, normalmente empregada na simulação do comportamento quase-estático dos evaporitos.

A integração das deformações por fluência, quando mantidos constantes a temperatura e a tensão diferencial, é dada por:

$$\varepsilon^f = A \cdot t^a \cdot \sigma_o^b \cdot \theta_o^c \quad (\text{A.1})$$

Onde ε^f é a deformação axial de fluência, ou equivalente, no caso triaxial de tensões; t é o tempo; σ_o é a tensão diferencial; θ_o é a temperatura e A, a, b, c são constantes obtidas a partir de ensaios de laboratório.

Para o caso em que a tensão diferencial e a temperatura são variáveis com o tempo, a integração das deformações por fluência pode ser conduzida pelo procedimento adotado pela Science Applications Inc.

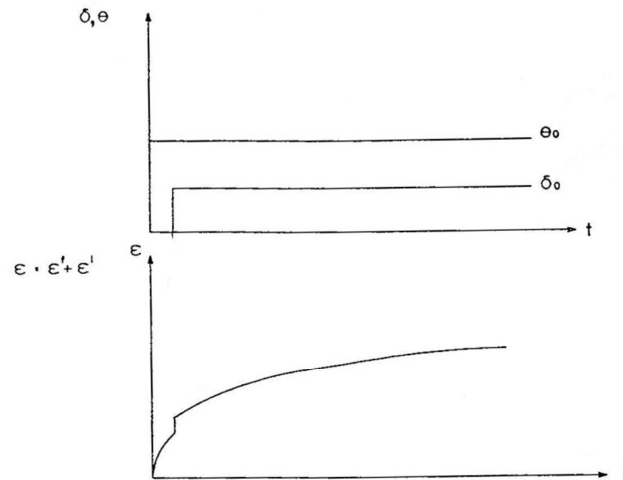


Figura A.1: Gráfico tensão, temperatura vs tempo, e deformação vs tempo (modificado – Costa, 1984).

A.1. Procedimento da Science Applications, Inc. (SAI)

Adotando-se o procedimento da SAI, a continuidade da curva de fluência é garantida pela determinação de um parâmetro λ correspondente à translação na variável tempo, responsável pela geração de uma nova curva de fluência com os novos valores das variáveis de estado, temperatura e tensão diferencial. Admitindo-se intervalos finitos de tempo e a representação *step wise* da evolução com o tempo da temperatura e tensão diferencial, tem-se:

Para:

$$t_0 \leq t \leq t_1 \rightarrow \varepsilon^f = A \cdot (t - t_0)^a \cdot \sigma_0^c \cdot \theta_0^b \quad (\text{A.2})$$

Para:

$$t_1 \leq t \leq t_2 \rightarrow \varepsilon^f = A \cdot (t - \lambda_1)^a \cdot \sigma_1^c \cdot \theta_1^b \quad (\text{A.3})$$

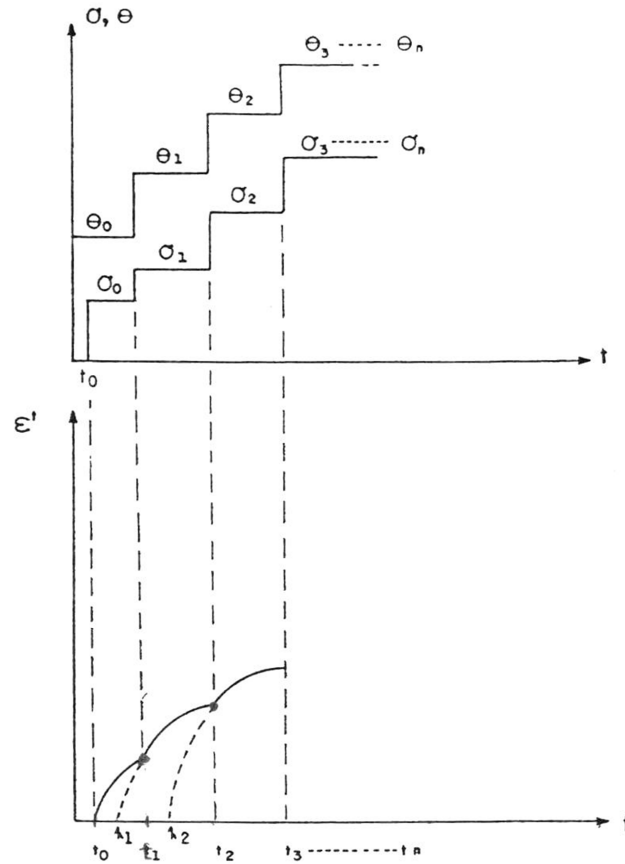


Figura A.2: Parâmetro λ , para tensão e temperatura variáveis (modificado – Costa, 1984).

O parâmetro λ é obtido por intermédio da exigência da continuidade da deformação por fluência em $t = t_1$:

$$\rightarrow A \cdot (t_1 - t_0)^a \cdot \sigma_0^c \cdot \theta_0^b = A \cdot (t_1 - \lambda_1)^a \cdot \sigma_1^c \cdot \theta_1^b \quad (\text{A.4})$$

Sendo λ função do tempo.

A função contínua $\lambda(t)$ é obtida por cálculo diferencial admitindo-se que, no caso mais geral, em que se tenha temperatura e tensões diferenciais variáveis, o incremento infinitesimal de ε^f , decorre de variações infinitesimais de λ , θ e σ :

$$d\varepsilon^f = \frac{\partial \varepsilon^f}{\partial t} dt + \left(\frac{\partial \varepsilon^f}{\partial \lambda} d\lambda + \frac{\partial \varepsilon^f}{\partial \theta} d\theta + \frac{\partial \varepsilon^f}{\partial \sigma} d\sigma \right) \quad (\text{A.5})$$

Como pelo próprio fenômeno de fluência, um incremento de deformação deve estar associado a um intervalo de tempo, é preciso que a segunda parte da equação A.5 seja nula, de tal modo que esta condição física seja satisfeita para o caso matemático em que $dt=0$.

$$\frac{\partial \varepsilon^f}{\partial \lambda} d\lambda + \frac{\partial \varepsilon^f}{\partial \theta} d\theta + \frac{\partial \varepsilon^f}{\partial \sigma} d\sigma = 0 \quad (\text{A.6})$$

Mas,

$$\varepsilon^f = A \cdot (t - \lambda(t))^a \cdot \sigma^c(t) \cdot \theta^b(t) \quad (\text{A.7})$$

$$\frac{d\varepsilon^f}{d\theta} = \frac{b \cdot A \cdot (t - \lambda(t))^a \cdot \sigma^c(t) \cdot \theta^{b-1}(t)}{\theta(t)} \quad (\text{A.8})$$

$$\frac{d\varepsilon^f}{d\theta} = \frac{b \cdot \varepsilon^f(t)}{\theta(t)} \quad (\text{A.9})$$

$$\frac{d\varepsilon^f}{d\sigma} = \frac{c \cdot A \cdot (t - \lambda(t))^a \cdot \sigma^{c-1}(t) \cdot \theta^b(t)}{\sigma(t)} \quad (\text{A.10})$$

$$\frac{d\varepsilon^f}{d\sigma} = \frac{c \cdot \varepsilon^f(t)}{\sigma(t)} \quad (\text{A.11})$$

$$\frac{d\varepsilon^f}{d\lambda} = - \frac{a \cdot A \cdot (t - \lambda(t))^{a-1} \cdot \sigma^c(t) \cdot \theta^b(t)}{(t - \lambda(t))} \quad (\text{A.12})$$

$$\frac{d\varepsilon^f}{d\lambda} = - \frac{a \cdot \varepsilon^f(t)}{(t - \lambda(t))} \quad (\text{A.13})$$

Substituindo-se A.9, A.11 e A.13 em A.6:

$$- \frac{a \cdot \varepsilon^f}{(t - \lambda)} d\lambda + b \cdot \varepsilon^f \frac{d\theta}{\theta} + c \cdot \varepsilon^f \frac{d\sigma}{\sigma} = 0 \quad (\text{A.14})$$

$$d\theta = \frac{\partial \theta}{\partial t} dt; d\sigma = \frac{\partial \sigma}{\partial t} dt; d\lambda = \frac{\partial \lambda}{\partial t} dt \quad (\text{A.15})$$

Substituindo-se A.15 em A.14:

$$a \frac{d\lambda}{(t - \lambda)} = b \cdot \frac{\dot{\theta}}{\theta} dt + c \frac{\dot{\sigma}}{\sigma} dt \quad (\text{A.16})$$

$$\rightarrow \lambda(t) = \lambda_o + \int_{t_o}^{t_1} \frac{(t - \lambda)}{a} \left(b \cdot \frac{\dot{\theta}}{\theta} + c \cdot \frac{\dot{\sigma}}{\sigma} \right) dt \quad (\text{A.17})$$

A equação geral contínua de fluência é então escrita por:

$$\varepsilon^f(t) = A[t - \lambda(t)]^a \cdot [\theta(t)]^b \cdot [\sigma(t)]^c \quad (\text{A.18})$$

A integração com o tempo da deformação $\varepsilon^f(t)$ no algoritmo explícito de Euler pode ser encontrada por dois processos:

- Primeiro Processo: obtenção do parâmetro $\lambda(t)$ a partir da condição de continuidade da curva de fluência para um instante t qualquer.

- Segundo Processo: integração numérica direta da equação $d\varepsilon^f(t)$.

PRIMEIRO PROCESSO

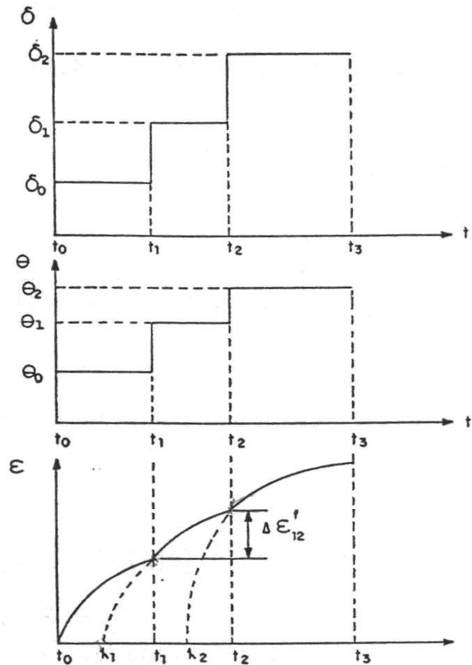


Figura A.3: Primeiro processo (modificado – Costa, 1984).

Cálculo dos parâmetros λ que introduzem continuidade na deformação por fluência.

Obtenção de λ_1 :

$$\varepsilon^f = \varepsilon^f \quad (\text{A.19})$$

$$(t_1 - t_0)^a \cdot \theta_0^b \cdot \sigma_0^c = (t_1 - \lambda(t_1))^a \cdot \theta_1^b \cdot \sigma_1^c \quad (\text{A.20})$$

$$(t_1 - \lambda(t_1))^a = (t_1 - t_0)^a \cdot \frac{\theta_0^b}{\theta_1^b} \cdot \frac{\sigma_0^c}{\sigma_1^c} \quad (\text{A.21})$$

$$\lambda(t_1) = t_1 - \left[(t_1 - t_0)^a \cdot \left(\frac{\theta_0}{\theta_1} \right)^b \cdot \left(\frac{\sigma_0}{\sigma_1} \right)^c \right]^{\frac{1}{a}} \quad (\text{A.22})$$

Cálculo de $\lambda(t_2)$:

$$[t_2 - \lambda(t_1)]^a \cdot \theta_1^b \cdot \sigma_1^c = [t_2 - \lambda(t_2)]^a \cdot \theta_2^b \cdot \sigma_2^c \quad (\text{A.23})$$

$$\lambda(t_2) = t_2 - \left\{ [t_2 - \lambda(t_1)]^a \cdot \left(\frac{\theta_1}{\theta_2}\right)^b \cdot \left(\frac{\sigma_1}{\sigma_2}\right)^c \right\}^{\frac{1}{a}} \quad (\text{A.24})$$

Para dois instantes t quaisquer:

$$\lambda(t_n) = t_n - \left\{ [t_n - \lambda(t_{n-1})]^a \cdot \left(\frac{\theta_{n-1}}{\theta_n}\right)^b \cdot \left(\frac{\sigma_{n-1}}{\sigma_n}\right)^c \right\}^{\frac{1}{a}} \quad (\text{A.25})$$

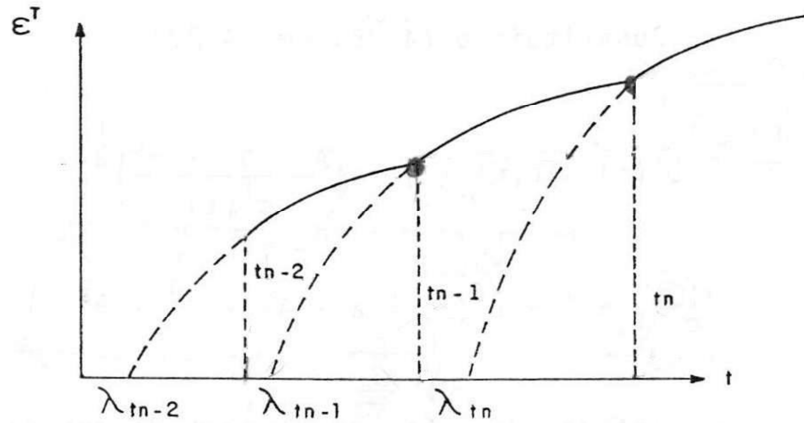


Figura A.4: Incremento de deformação por fluência (modificado – Costa, 1984).

$$\Delta \varepsilon^f = \left\{ A[t_n - \lambda(t_{n-1})]^a \cdot \theta_{n-1}^b \cdot \sigma_{n-1}^c - A[t_{n-1} - \lambda(t_{n-2})]^a \cdot \theta_{n-2}^b \cdot \sigma_{n-2}^c \right\} \quad (\text{A.26})$$

SEGUNDO PROCESSO

$$\varepsilon^f(t) = A[t - \lambda(t)]^a \cdot \theta^b \cdot \sigma^c \quad (\text{A.27})$$

$$\dot{\varepsilon}^f(t) = \frac{a \cdot A \cdot [t - \lambda(t)]^{a-1} \cdot \theta^b \cdot \sigma^c}{[t - \lambda(t)]} \quad (\text{A.28})$$

$$\dot{\varepsilon}^f(t) = \frac{a \cdot \varepsilon^f(t)}{[t - \lambda(t)]} \quad (\text{A.29})$$

Com base na equação (A.27):

$$[t - \lambda(t)] = \left[\frac{\varepsilon^f(t)}{A \cdot \theta^b \cdot \sigma^c} \right]^{\frac{1}{a}} \quad (\text{A.30})$$

Substituindo (A.30) em (A.29):

$$\dot{\varepsilon}^f(t) = a \cdot \varepsilon^f(t) \cdot \left(\frac{A \cdot \theta^b \cdot \sigma^c}{\varepsilon^f(t)} \right)^{\frac{1}{a}} \quad (\text{A.31})$$

$$\varepsilon^f(t)^{\frac{1}{a}-1} \cdot \dot{\varepsilon}^f(t) = a \cdot A^{\frac{1}{a}} \cdot \theta^{\frac{b}{a}} \cdot \sigma^{\frac{c}{a}} \quad (\text{A.32})$$

Integrando ambos os membros da equação (A.32):

$$\int_0^t \varepsilon(t)^{\frac{1}{a}-1} d\varepsilon = a \cdot A^{\frac{1}{a}} \cdot \int_0^t \theta^{\frac{b}{a}} \cdot \sigma^{\frac{c}{a}} dt \quad (\text{A.33})$$

$$\varepsilon^f(t) = A \left(\int_0^t \theta^{\frac{b}{a}} \cdot \sigma^{\frac{c}{a}} dt \right)^a \quad (\text{A.34})$$

A integração da equação A.34 pode ser feita numericamente. Admitindo-se que se conheça a deformação por fluência, a temperatura e a tensão diferencial após n intervalos de tempo Δt , a deformação no instante $(n+1)\Delta t$ pode ser escrita por:

$$\varepsilon_{n+1}^f = A \left[\left(\int_0^{n \cdot \Delta t} \theta^{\frac{b}{a}} \cdot \sigma^{\frac{c}{a}} dt \right) + \left(\int_{n \cdot \Delta t}^{(n+1) \Delta t} \theta^{\frac{b}{a}} \cdot \sigma^{\frac{c}{a}} dt \right) \right]^a \quad (\text{A.35})$$

Aplicando-se a regra de Simpson para a solução da segunda integral.

$$\varepsilon_{n+1}^f = A \left[\left(\int_0^{n \cdot \Delta t} \theta^{\frac{b}{a}} \cdot \sigma^{\frac{c}{a}} dt \right) + \frac{\Delta t}{2} \left(\theta_n^{\frac{b}{a}} \cdot \sigma_n^{\frac{c}{a}} + \theta_{n+1}^{\frac{b}{a}} \cdot \sigma_{n+1}^{\frac{c}{a}} \right) \right]^a \quad (\text{A.36})$$

Mas,

$$\varepsilon_n^f(t) = A \left(\int_0^{t_f} \theta^{\frac{b}{a}} \cdot \sigma^{\frac{c}{a}} dt \right)^a \quad (\text{A.37})$$

Sendo:

$$t_f = n \cdot \Delta t \rightarrow \varepsilon_n^f(t) = A \left(\int_0^{n \cdot \Delta t} \theta^{\frac{b}{a}} \cdot \sigma^{\frac{c}{a}} dt \right)^a \rightarrow \varepsilon_n^{\frac{1}{a}}(t) = A^{\frac{1}{a}} \left(\int_0^{n \cdot \Delta t} \theta^{\frac{b}{a}} \cdot \sigma^{\frac{c}{a}} dt \right) \quad (\text{A.38})$$

Substituindo (A.38) em (A.36):

$$\varepsilon_{n+1}^f = \left[\left(\varepsilon_n^f \right)^{\frac{1}{a}} + \frac{\Delta t}{2} \cdot A^{\frac{1}{a}} \left(\theta_n^{\frac{b}{a}} \cdot \sigma_n^{\frac{c}{a}} + \theta_{n+1}^{\frac{b}{a}} \cdot \sigma_{n+1}^{\frac{c}{a}} \right) \right]^a \quad (\text{A.39})$$

No algoritmo explícito de Euler $\theta_{n+1} = \theta_n$ e $\sigma_{n+1} = \sigma_n$. As equações (A.39) e (A.26) fornecem o mesmo resultado.

O desenvolvimento matemático apresentado anteriormente assume apenas uma componente no tensor de tensões e deformações. No caso multiaxial há apenas uma componente no tensor de tensões de deformações. No caso multiaxial de tensões e deformações $\varepsilon^f(t)$ e $\sigma(t)$ são substituídos pela deformação e tensão equivalentes definidos anteriormente pelas seguintes expressões:

$$\sigma_e = \sqrt{\frac{3}{2}} \cdot (S_x^2 + S_y^2 + 2 \cdot \tau_{xy}^2 + S_z^2)^{\frac{1}{2}} \quad (\text{A.40})$$

$$\varepsilon_e^f = \sqrt{\frac{2}{3}} \cdot \left((\varepsilon_x^f)^2 + (\varepsilon_y^f)^2 + 2 \cdot (\varepsilon_{xy}^f)^2 + (\varepsilon_z^f)^2 \right)^{\frac{1}{2}} \quad (\text{A.41})$$

Empregando-se o procedimento da SAI para integração de deformação efetiva de fluência, pode-se escrever o algoritmo explícito de Euler de integração com o tempo do tensor de deformações por fluência.

Pelo princípio dos trabalhos virtuais:

$$\int_V [{}^t\sigma]^T \cdot [{}^t\varepsilon^*] dV - \int_V [{}^t f_v]^T \cdot [U^*] dV - \int_S [{}^t f_s]^T \cdot [U^*] \cdot dS = 0 \quad (\text{A.42})$$

Onde $[{}^t f_v]$ e $[{}^t f_s]$ são as forças volumétricas e superficiais no instante t.

Admitindo-se que o tensor de deformações total seja definido pela soma de uma parcela elástica e uma parcela não linear:

$$[{}^t\varepsilon] = [{}^t\varepsilon_e] + [{}^t\varepsilon^f] \quad (\text{A.43})$$

O estado de tensões no instante t é dado por:

$$[{}^t\sigma] = [C]\{[{}^t\varepsilon] - [{}^t\varepsilon^f]\} \quad (\text{A.44})$$

Sabendo-se que:

$$[u] = [N][U] \text{ e } [u^*] = [N][U^*] \quad (\text{A.45})$$

$$[\varepsilon] = [B][U] \quad (\text{A.46})$$

E substituindo-se as equações A.44, A.45 e A.46 em A.42, tem-se:

$$\int_V [\varepsilon^*]^T [C] ([{}^t\varepsilon] - [{}^t\varepsilon^f]) dV - [U^*]^T \int_V [N]^T [f_v] dV - [U^*]^T \int_S [N]^T [f_s] dS = 0 \quad (\text{A.47})$$

$$U^* \left\{ \int_V [B]^T [C][B] dV [{}^tU] = \int_V [B]^T [C] [{}^t\varepsilon^f] dV + [{}^tF] \right\} \quad (\text{A.48})$$

Onde:

$$[{}^tF] = \int_V [N]^T [{}^t f_v] dV + \int_S [N]^T [{}^t f_s] dS \quad (\text{A.49})$$

A equação de equilíbrio em um instante t qualquer pode então ser escrita por:

$$\int_V [B]^T [C][B] dV [{}^tU] = \int_V [B]^T [C] [{}^t\varepsilon^f] dV + [{}^tF] \quad (\text{A.50})$$

A.1.1. Sequência do processo incremental de integração do tensor de deformações por fluência aplicável a problemas de escavações subterrâneas.

1. Geração do estado inicial de tensões nos pontos de integração dos elementos, devido ao peso da coluna litostática:

$$\sigma_y = \gamma_m \cdot H \text{ e } \sigma_z = \sigma_x = K_h \cdot \sigma_y, \tau_{xy} = 0 \quad (\text{A.51})$$

Onde γ_m é a densidade média da coluna litostática, H é a profundidade do ponto de integração, σ_y é a pressão vertical, $\sigma_z = \sigma_x$ são as pressões horizontais, K_h coeficiente de empuxo horizontal, normalmente considerado como sendo igual a 1.0 no caso de cavidades em depósitos evaporíticos.

O cálculo das forças nodais equivalentes ao estado inicial de tensões se aplicável ao problema:

$$[F_{\sigma_o}] = \int_V [B]^T \cdot [\sigma_o] dV \quad (\text{A.52})$$

2. Geração do tensor de deformações térmicas nos pontos de integração dos elementos:

$$[\varepsilon_T] = \begin{cases} \varepsilon_x = \alpha \cdot \theta \\ \varepsilon_y = \alpha \cdot \theta \\ \varepsilon_z = \alpha \cdot \theta \\ \gamma_{xy} = 0 \cdot 0 \end{cases}$$

Onde α é o coeficiente de expansão térmica do material e θ é a temperatura. O cálculo das forças nodais equivalentes às deformações térmicas se aplicáveis ao problema é:

$$[F_T] = \int_V [B]^T \cdot [C] \cdot [\varepsilon_T] dV \quad (\text{A.53})$$

3. Cálculo do estado de tensões para $t=0$ ($n=1$):

$$\int_V [B]^T [C][B]dV[U]^{t=0} = \int_V [N]^T [f_v]^{t=0} dV - \int_S [N]^T [f_v]^{t=0} dS + [F_T] + [F_{\sigma_o}] \quad (\text{A.54})$$

$$[K] \cdot [U] = [R]^{t=0} + [F_T] - [F_o] \quad (\text{A.55})$$

$$[\varepsilon] = [B] \cdot [U] \quad (\text{A.56})$$

$$[\sigma] = [\sigma_o] + [C]\{[\varepsilon] - [\varepsilon_T]\} \quad (\text{A.57})$$

4. Cálculo do incremento no tensor de deformações por fluência entre dois instantes t_n e t_{n-1} por Odqvist, 1974:

$$\Delta \varepsilon^f = \frac{3}{2} \frac{\Delta \varepsilon_e}{\sigma_{e,t=t_0}} \cdot [S_{t=t_0}] \quad (\text{A.58})$$

Onde $[S]$ é o tensor de tensões desviadoras, σ_e é a tensão generalizada ou efetiva de fluência, $\Delta \varepsilon_e$ é o incremento da deformação generalizada ou efetiva é obtida com base em resultados de ensaios de laboratório ou com parâmetros aferidos através de análise de sensibilidade por comparação com resultados de experimentação de campo:

$$\Delta \varepsilon^f = \{A[t_n - \lambda(t_{n-1})]^a \cdot \theta_{n-1}^b \cdot \sigma_{n-1}^c - A[t_{n-1} - \lambda(t_{n-2})]^a \cdot \theta_{n-2}^b \cdot \sigma_{n-2}^c\} \quad (\text{A.59})$$

5. Cálculo do tensor acumulado de deformações por fluência

$$[{}^t_n \varepsilon^f] = [{}^t_{n-1} \varepsilon^f] + [\Delta \varepsilon_n^f] \quad (\text{A.60})$$

6. Cálculo do campo de deslocamentos $[{}^t_n U]$ de modo a se alcançar o equilíbrio estrutural, admitindo uma deformação inicial $[{}^t_n \varepsilon^f]$:

$$[K] \cdot [{}^t_n U] = {}^t_n [R] + \int_V [B]^T [C] [{}^t_n \varepsilon^f] dV + [F_T] - [F_o] \quad (\text{A.61})$$

$$[{}^t_n \varepsilon] = [B] \cdot [{}^t_n U] \quad (\text{A.62})$$

$$[{}^t_n \sigma] = [C] \{ [{}^t_n \varepsilon] - [{}^t_n \varepsilon^f] \} + [\sigma_o] + [\sigma_T] \quad (\text{A.63})$$

Onde $[\sigma_T] = -C \cdot \alpha \cdot T$ (tensões térmicas).

7. Cálculo do parâmetro $\lambda(t_n)$:

$$\lambda(t_n) = t_n - \left\{ [t_n - \lambda(t_{n-1})]^a \cdot \left(\frac{\theta_{n-1}}{\theta_n} \right)^b \cdot \left(\frac{\sigma_{en-1}}{\sigma_{en}} \right)^c \right\}^{\frac{1}{a}} \quad (\text{A.64})$$

8. Reinício do processo em 4.

Este algoritmo fornece uma solução condicionalmente estável exigindo a aplicação de pequenos intervalos de tempo na fase de fluência primária correspondente à fase de redistribuição de tensões da solução *steady state*.

Devido à extensa aplicação do algoritmo explícito de Euler, principalmente por pesquisadores envolvidos no estudo de fluência de estruturas metálicas, foram desenvolvidos diversos critérios para a determinação do intervalo de tempo crítico acima do qual a solução se tornaria instável. Dos critérios pesquisados pelo autor, o que melhor conduziu a bons resultados foi o desenvolvido por Treharne. Por este critério o intervalo crítico é dado por:

$$\Delta t < \frac{4(1+\nu)}{3} \frac{1}{E \cdot A \cdot a \cdot b \cdot c \cdot \sigma_e^{c-1} \cdot \theta^{b-1} \cdot t^{a-1}} \quad (\text{A.65})$$

Quando se utiliza, para equação de fluência, a expressão:

$$\varepsilon_e = A \cdot \sigma_e^c \cdot t^a \cdot \theta^b \quad (\text{A.66})$$

B. Algoritmo implícito incremental iterativo, método “ α ” de integração das deformações por fluência com o tempo

Este material foi reproduzido a partir da tese de doutorado de Alvaro Costa (Costa, 1984).

A aplicação deste algoritmo é restrita no presente trabalho, ao tratamento de materiais com lei constitutiva visco-elástica. A título de desenvolvimento do algoritmo será utilizada a lei de fluência empírica apresentada, normalmente empregada na simulação do comportamento quase-estático dos evaporitos.

B.1. Integração das deformações por fluência com o tempo

Para este algoritmo emprega-se o método “ α ” de integração. Entre os instantes t e $t+\Delta t$ a deformação por fluência varia, bem como a tensão diferencial e a temperatura.

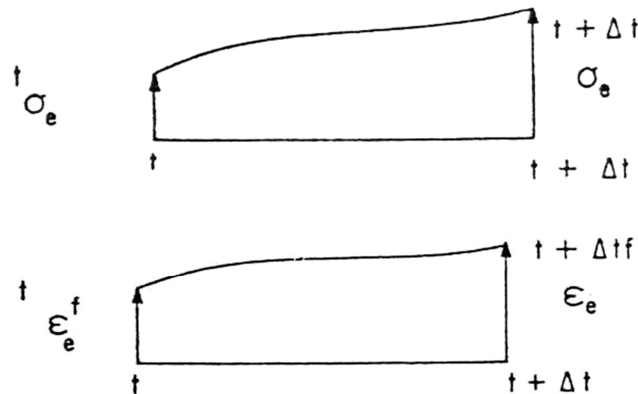


Figura B.1: Incremento de tensão e deformação por fluência (modificado – Costa, 1984).

O incremento da deformação efetiva é dado por:

$$\Delta \epsilon_e^f = \Delta t \cdot {}^{t+\alpha \cdot \Delta t} \dot{\epsilon}_e^f \quad (\text{B.1})$$

Onde:

$${}^{t+\alpha \cdot \Delta t} \dot{\epsilon}_e^f = a \cdot A \cdot (t + \alpha \cdot \Delta t)^{a-1} \cdot {}^{t+\alpha \cdot \Delta t} \theta^b \cdot {}^{t+\alpha \cdot \Delta t} \sigma_e \quad (\text{B.2})$$

$${}^{t+\alpha\Delta t}\sigma_e = (1 - \alpha) \cdot {}^t\sigma_e + \alpha \cdot {}^{t+\Delta t}\sigma_e \quad (\text{B.3})$$

$$[{}^{t+\alpha\Delta t}S] = (1 - \alpha) \cdot [{}^tS] + \alpha \cdot [{}^{t+\Delta t}S] \quad (\text{B.4})$$

Sendo $[{}^{t+\alpha\Delta t}S]$ o tensor de tensões desviadoras.

O método proposto está ilustrado na Figura B.2 e consiste em se obter o valor da derivada no instante $t + \alpha \cdot \Delta t$ empregando-se os valores extremos das variáveis de estado temperatura e tensão.

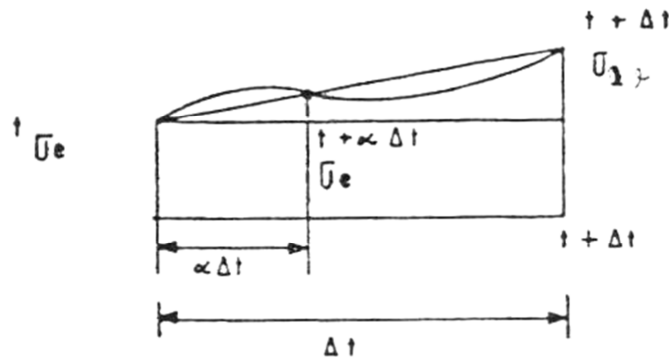


Figura B.2: Variáveis extremos de tensão (modificado – Costa, 1984).

$$\Delta\sigma_e = {}^{t+\Delta t}\sigma_e - {}^t\sigma_e \quad (\text{para } \delta t = \Delta t) \quad (\text{B.5})$$

$$\Delta\sigma'_e = {}^{t+\alpha\Delta t}\sigma_e - {}^t\sigma_e \quad (\text{para } \delta t = \Delta t) \quad (\text{B.6})$$

$${}^{t+\alpha\Delta t}\sigma_e = \left(\frac{{}^{t+\Delta t}\sigma_e - {}^t\sigma_e}{\Delta t} \right) \cdot \alpha \cdot \Delta t + {}^t\sigma_e \quad (\text{B.7})$$

$${}^{t+\alpha\Delta t}\sigma_e = (1 - \alpha) \cdot {}^t\sigma_e + \alpha \cdot {}^{t+\Delta t}\sigma_e \quad (\text{B.8})$$

Com base nas equações B.2, B.3 e B.4 e aplicando-se a lei por Odqvist, o tensor de deformações por fluência no instante $t + \Delta t$ pode ser escrito por:

$$[{}^{t+\Delta t}\epsilon^f] = [{}^t\epsilon^f] + \Delta t \cdot \frac{3}{2} \cdot \frac{1}{{}^{t+\alpha\Delta t}\sigma_e} \cdot {}^{t+\alpha\Delta t}\dot{\epsilon}_e^f \cdot [{}^{t+\alpha\Delta t}S] \quad (\text{B.6})$$

Escrevendo-se o tensor de tensões desviadoras por:

$$[S] = [D] \cdot [\sigma] \quad (\text{B.7})$$

$$[D] = \begin{bmatrix} +\frac{2}{3} & -\frac{1}{3} & 0 & -\frac{1}{3} \\ -\frac{1}{3} & +\frac{2}{3} & 0 & -\frac{1}{3} \\ 0 & 0 & 2 & 0 \\ -\frac{1}{3} & -\frac{1}{3} & 0 & +\frac{2}{3} \end{bmatrix} \quad (\text{B.8})$$

E substituindo-se B.7 em B.6:

$$[{}^{t+\Delta t}\varepsilon^f] = [{}^t\varepsilon^f] + \Delta t \cdot \frac{3}{2} \cdot \frac{1}{t+\alpha\Delta t\sigma_e} \cdot {}^{t+\alpha\Delta t}\dot{\varepsilon}_e^f \cdot [D] \cdot [{}^{t+\alpha\Delta t}\sigma] \quad (\text{B.9})$$

$${}^{t+\alpha\Delta t}\gamma = \frac{3}{2} \cdot \frac{1}{t+\alpha\Delta t\sigma_e} \cdot {}^{t+\alpha\Delta t}\dot{\varepsilon}_e^f \quad (\text{B.10})$$

$$\rightarrow [{}^{t+\Delta t}\varepsilon^f] = [{}^t\varepsilon^f] + \Delta t \cdot {}^{t+\alpha\Delta t}\gamma \cdot [D] \cdot [{}^{t+\alpha\Delta t}\sigma] \quad (\text{B.11})$$

B.2. Sequência do processo incremental iterativo de integração do tensor de deformações por fluência aplicável a problemas de escavações subterrâneas

Considerando-se válido que a deformação total seja a soma de uma parcela elástica e uma parcela não-linear:

$$[{}^{t+\Delta t}\varepsilon] = [{}^{t+\Delta t}\varepsilon_{elast}] + [{}^{t+\Delta t}\varepsilon^f] \quad (\text{B.12})$$

Sendo $[{}^{t+\Delta t}\varepsilon]$ o tensor de deformação total, $[{}^{t+\Delta t}\varepsilon_{elast}]$ a parcela elástica e $[{}^{t+\Delta t}\varepsilon^f]$ é a parcela não linear.

Empregando-se a equação matricial B.12 o tensor de tensões $[{}^{t+\Delta t}\sigma]$ é definido por:

$$[{}^{t+\Delta t}\sigma] = [C]\{[{}^{t+\Delta t}\varepsilon] - [{}^{t+\Delta t}\varepsilon^f]\} + [\sigma_o] + [\sigma_\theta] \quad (\text{B.13})$$

Onde $[\sigma_o]$ é a tensão devido ao estado inicial de tensões e $[\sigma_\theta]$ tensão devido às deformações térmicas.

Com a equação B.13 pode-se escrever a equação de equilíbrio no instante $t + \Delta t$ pela aplicação do princípio dos trabalhos virtuais.

$$\int_V [\varepsilon^*]^T \cdot [{}^{t+\Delta t}\sigma] dV - \int_S [U^*]^T \cdot [{}^{t+\Delta t}f_s] dS - \int_V [U^*]^T \cdot [{}^{t+\Delta t}f_v] dV = 0 \quad (\text{B.14})$$

$$\int_V [\varepsilon^*]^T \cdot \{ [C] \cdot ([{}^{t+\Delta t}\varepsilon] - [{}^{t+\Delta t}\varepsilon^f]) + [\sigma_o] + [{}^{t+\Delta t}\sigma_\theta] \} dV - \int_S [U^*]^T \cdot [{}^{t+\Delta t}f_s] dS - \int_V [U^*]^T \cdot [{}^{t+\Delta t}f_v] dV = 0 \quad (\text{B.15})$$

Substituindo-se as equações de ε^* e U^* , chega-se à equação de equilíbrio quase-estático da estrutura no instante $t + \Delta t$:

$$\int_V [B]^T \cdot [C] \cdot [{}^{t+\Delta t}\varepsilon] dV = \int_S [N]^T \cdot [{}^{t+\Delta t}f_s] dS + \int_V [N]^T \cdot [{}^{t+\Delta t}f_v] dV - \int_V [B]^T \cdot [\sigma_o] dV - \int_V [B]^T \cdot [{}^{t+\Delta t}\sigma_\theta] dV + \int_V [B]^T \cdot [C] \cdot [{}^{t+\Delta t}\varepsilon^f] dV \quad (\text{B.16})$$

$$\int_V [B]^T \cdot [C] [{}^{t+\Delta t}\varepsilon] dV = \int_V [B]^T \cdot [C][B] dV [{}^{t+\Delta t}U] \quad (\text{B.17})$$

Substituindo B.17 em B.16 e chamando:

$$[{}^{t+\Delta t}R] = \int_S [N]^T \cdot [{}^{t+\Delta t}f_s] dS + \int_V [N]^T \cdot [{}^{t+\Delta t}f_v] dV \quad (\text{B.18})$$

Tem-se:

$$\int_V [B]^T \cdot [C][B] dV [{}^{t+\Delta t}U] = [{}^{t+\Delta t}R] - \int_V [B]^T \cdot [\sigma_o] dV - \int_V [B]^T \cdot [{}^{t+\Delta t}\sigma_\theta] dV + \int_V [B]^T \cdot [C] \cdot [{}^{t+\Delta t}\varepsilon^f] dV \quad (\text{B.19})$$

$$[K] = \int_V [B]^T \cdot [C][B] dV \quad (\text{B.20})$$

$$[K] \cdot [{}^{t+\Delta t}U] = [{}^{t+\Delta t}R] - \int_V [B]^T \cdot [\sigma_o] dV - \int_V [B]^T \cdot [{}^{t+\Delta t}\sigma_\theta] dV + \int_V [B]^T \cdot [C] \cdot [{}^{t+\Delta t}\varepsilon^f] dV \quad (\text{B.20})$$

Por observação do sistema de equações em B.20 é fácil se constatar a não-linearidade do problema:

Como $[{}^{t+\Delta t}\varepsilon^f]$ é função de $[{}^{t+\Delta t}\sigma]$ e por sua vez $[{}^{t+\Delta t}\sigma]$ é função de $[{}^{t+\Delta t}\varepsilon]$, que por sua vez é função de $[{}^{t+\Delta t}U]$, conclui-se ser o sistema não-linear, devendo ser resolvido passo a passo.

Além do sistema de equações ser não linear, a equação constitutiva é também não linear.

$$[{}^{t+\Delta t}\varepsilon^f] = [{}^t\varepsilon^f] + \Delta t \cdot {}^{t+\alpha\Delta t}\gamma \cdot [D] \cdot [{}^{t+\alpha\Delta t}\sigma] \quad (\text{B.21})$$

$$[{}^{t+\alpha\Delta t}\sigma] = (1 - \alpha) \cdot [{}^t\sigma] + \alpha \cdot [{}^{t+\Delta t}\sigma] \quad (\text{B.22})$$

$$[{}^{t+\Delta t}\sigma] = [C] \cdot ([{}^{t+\Delta t}\varepsilon] - [{}^{t+\Delta t}\varepsilon^f]) + [\sigma_o] + [{}^{t+\Delta t}\sigma_\theta] \quad (\text{B.23})$$

Os sistemas B.21, B.22 e B.23 podem ser resolvidos por dois métodos:

1. Substituição Sucessiva:

$$[{}^{t+\Delta t}\varepsilon_{k+1}^f] = [{}^t\varepsilon^f] + \Delta t \cdot {}^{t+\alpha\Delta t}\gamma_k \cdot [D] \cdot [{}^{t+\alpha\Delta t}\sigma_k] \quad (\text{B.24})$$

Onde k=k-ésimo passo iterativo

$$[{}^{t+\alpha\Delta t}\sigma_k] = (1 - \alpha) \cdot [{}^t\sigma_k] + \alpha \cdot [{}^{t+\Delta t}\sigma_k] \quad (\text{B.25})$$

$$[{}^{t+\Delta t}\sigma_{k+1}] = C \cdot \{[{}^{t+\Delta t}\varepsilon_i] - [{}^{t+\Delta t}\varepsilon_{k+1}^f]\} + \sigma_o + {}^{t+\Delta t}\sigma_\theta \quad (\text{B.26})$$

Onde i = i-ésimo passo incremental iterativo do sistema de equações de equilíbrio.

Os sistemas B.21, B.22 e B.23 devem ser resolvidos recursivamente até que seja atingida a condição *steady-state*, ou seja:

$$[{}^{t+\Delta t}\varepsilon_{k+1}^f] - [{}^{t+\Delta t}\varepsilon_k^f] \leq tol_1 \quad (\text{B.27})$$

$$[{}^{t+\Delta t}\sigma_{k+1}] - [{}^{t+\Delta t}\sigma_k] \leq tol_2 \quad (\text{B.28})$$

Após a tolerância ter sido satisfeita, o valor de $[{}^{t+\Delta t}\varepsilon_{k+1}^f]$ é substituído no sistema de equações em B.20, obtendo-se mais um passo no campo de deslocamentos $[{}^{t+\Delta t}U^{i+1}]$

$$[K] \cdot [{}^{t+\Delta t}U^{i+1}] = \int_S [N]^T \cdot [{}^{t+\Delta t}f_s] dS + \int_V [N]^T \cdot [{}^{t+\Delta t}f_v] dV - \int_V [B]^T \cdot [\sigma_o] dV - \int_V [B]^T \cdot [{}^{t+\Delta t}\sigma_\theta] dV + \int_V [B]^T \cdot [C] \cdot [{}^{t+\Delta t}\varepsilon_{k+1}^f] dV \quad (\text{B.29})$$

Calculado o valor de $[{}^{t+\Delta t}U^{i+1}]$ obtém-se $[{}^{t+\Delta t}\varepsilon^{i+1}] = [B] \cdot [{}^{t+\Delta t}U^{i+1}]$ e com o valor de $[{}^{t+\Delta t}\varepsilon^{i+1}]$, reinicia-se a recursividade sobre as equações B.24, B.25 e

B.26. A cada passo iterativo na obtenção do campo de deslocamentos, pode-se escrever a seguinte equação:

$$[{}^{t+\Delta t}U^{i+1}] = [{}^{t+\Delta t}U^i] + [\Delta U^{i+1}] \quad (\text{B.30})$$

Substituindo-se B.30 em B.29:

$$[K] \cdot [{}^{t+\Delta t}U^i] + [K] \cdot [\Delta U^{i+1}] = [{}^{t+\Delta t}R] - \int_V [B]^T \cdot [\sigma_o] dV - \int_V [B]^T \cdot [{}^{t+\Delta t}\sigma_\theta] dV + \int_V [B]^T \cdot [C] \cdot [{}^{t+\Delta t}\varepsilon_{k+1}^f] dV \quad (\text{B.31})$$

Mas,

$$[K] \cdot [{}^{t+\Delta t}U^i] = \int_V [B]^T \cdot [C] \cdot [B] [{}^{t+\Delta t}U^i] dV = \int_V [B]^T \cdot [C] \cdot [{}^{t+\Delta t}\varepsilon^i] dV \quad (\text{B.32})$$

Substituindo B.32 em B.29

$$[K] \cdot [\Delta U^{i+1}] = [{}^{t+\Delta t}R] - \int_V [B]^T \cdot [C] \cdot [{}^{t+\Delta t}\varepsilon^i] dV - \int_V [B]^T \cdot [\sigma_o] dV - \int_V [B]^T \cdot [{}^{t+\Delta t}\sigma_\theta] dV + \int_V [B]^T \cdot [C] \cdot [{}^{t+\Delta t}\varepsilon_{k+1}^f] dV \quad (\text{B.33})$$

A equação B.33 pode ser colocada na forma:

$$[K] \cdot [\Delta U^{i+1}] = [{}^{t+\Delta t}R] - \int_V [B]^T \cdot \{ [C] \cdot ([{}^{t+\Delta t}\varepsilon^i] - [{}^{t+\Delta t}\varepsilon_{k+1}^f]) + [\sigma_o] + [{}^{t+\Delta t}\sigma_\theta] \} dV \quad (\text{B.34})$$

Mas,

$$[{}^{t+\Delta t}\sigma^{i+1}] = [C] \cdot ([{}^{t+\Delta t}\varepsilon^i] - [{}^{t+\Delta t}\varepsilon_{k+1}^f]) + [\sigma_o] + [{}^{t+\Delta t}\sigma_\theta] \\ \rightarrow [K] \cdot [\Delta U^{i+1}] = [{}^{t+\Delta t}R] - \int_V [B]^T \cdot [{}^{t+\Delta t}\sigma^{i+1}] dV \quad (\text{B.35})$$

A cada iteração "i" no campo dos deslocamentos, têm-se n subiterações nas equações B.21 a B.23. O processo iterativo termina quando $[\Delta U^{i+1}]$ é aproximadamente zero.

O processo de substituição sucessiva nas equações B.21, B.22 e B.23 não garante a convergência da integração. Por este motivo, no presente trabalho a satisfação da lei constitutiva do material é feita iterativamente pelo método de Newton-Raphson.

B.3. Aplicação do método de Newton-Raphson na solução do sistema não-linear que fornece o valor de $[{}^{t+\Delta t}\varepsilon^f]$

Em duas iterações sucessivas no estado de tensões tem-se $[{}^{t+\Delta t}\sigma_{k+1}]$ e $[{}^{t+\Delta t}\sigma_k]$, desenvolvendo-se $[{}^{t+\Delta t}\varepsilon^f]$ em série de Taylor no entorno de $[{}^{t+\Delta t}\sigma_k]$, tem-se:

$$[{}^{t+\Delta t}\varepsilon_{k+1}^{f(i)}] = [{}^{t+\Delta t}\varepsilon_k^{f(i)}] \left\{ \frac{[\partial^{t+\Delta t}\varepsilon^f]}{[\partial\sigma]} \right\}_{[{}^{t+\alpha\Delta t}\sigma_k^{(i)}]} \cdot ([{}^{t+\alpha\Delta t}\sigma_{k+1}^{(i)}] - [{}^{t+\alpha\Delta t}\sigma_k^{(i)}]) \quad (B.36)$$

$$\left\{ \frac{[\partial\varepsilon^f]}{[\partial\sigma]} \right\}_{[{}^{t+\alpha\Delta t}\sigma_k^{(i)}]} = \Delta t \cdot [D] \cdot [{}^{t+\alpha\Delta t}\sigma_k] \cdot \left\{ \frac{\partial\gamma}{[\partial\sigma]} \right\}_{[{}^{t+\alpha\Delta t}\sigma_k^{(i)}]} + \Delta t \cdot {}^{t+\alpha\Delta t}\gamma_k^{(i)} \cdot [D] \quad (B.37)$$

$$[{}^{t+\Delta t}\sigma_{k+1}] = [C] \cdot ([{}^{t+\Delta t}\varepsilon^{(i)}] - [{}^{t+\Delta t}\varepsilon_{k+1}^{f(i)}]) + [\sigma_o] + [\sigma_\theta] \quad (B.38)$$

Substituindo-se B.36 e B.37 em B.38:

$$[{}^{t+\Delta t}\sigma_{k+1}^{(i)}] = [C] \cdot \left\{ [{}^{t+\Delta t}\varepsilon^{(i)}] - [{}^{t+\Delta t}\varepsilon_k^{f(i)}] - \left(\Delta t \cdot [D] \cdot [{}^{t+\alpha\Delta t}\sigma_k^{(i)}] \cdot \left\{ \frac{\partial\gamma}{[\partial\sigma]} \right\}_{[{}^{t+\alpha\Delta t}\sigma_k^{(i)}]} + \Delta t \cdot {}^{t+\alpha\Delta t}\gamma_k^{(i)} \cdot [D] \right) \cdot ([{}^{t+\alpha\Delta t}\sigma_{k+1}^{(i)}] - [{}^{t+\alpha\Delta t}\sigma_k^{(i)}]) \right\} + [\sigma_o] + [\sigma_\theta] \quad (B.39)$$

Mas,

$$[{}^{t+\alpha\Delta t}\sigma_{k+1}] = (1 - \alpha) \cdot [{}^t\sigma] + \alpha \cdot {}^{t+\Delta t}\sigma_{k+1} \quad (B.40)$$

$$[{}^{t+\alpha\Delta t}\sigma_k] = (1 - \alpha) \cdot [{}^t\sigma] + \alpha \cdot {}^{t+\Delta t}\sigma_k \quad (B.41)$$

Substituindo B.40 e B.41 em B.39:

$$\begin{aligned}
\left[{}^{t+\Delta t}\sigma_{k+1}^{(i)} \right] &= [C] \cdot \left\{ \left[{}^{t+\Delta t}\varepsilon^{(i)} \right] - \left[{}^t\varepsilon^f \right] - \Delta t \cdot \left[{}^{t+\alpha\Delta t}\gamma_k \right] \cdot [D] \cdot \left[{}^{t+\alpha\Delta t}\sigma_k^{(i)} \right] - \right. \\
&\left(\Delta t \cdot [D] \cdot \left[{}^{t+\alpha\Delta t}\sigma_k^{(i)} \right] \cdot \left\{ \frac{\partial \gamma}{\partial \sigma} \right\}_{\left[{}^{t+\alpha\Delta t}\sigma_k^{(i)} \right]} + \Delta t \cdot {}^{t+\alpha\Delta t}\gamma_k^{(i)} \cdot [D] \right) \left((1 - \alpha) \cdot \left[{}^t\sigma \right] + \alpha \cdot \right. \\
&\left. \left[{}^{t+\alpha\Delta t}\sigma_{k+1}^{(i)} \right] - (1 - \alpha) \cdot \left[{}^t\sigma \right] - \alpha \cdot {}^{t+\Delta t}\sigma_k \right\} + [\sigma_o] + [\sigma_\theta] \quad (B.42)
\end{aligned}$$

Fazendo-se as devidas modificações na equação matricial em B.42 chega-se à equação matricial recursiva para convergência do estado de tensões:

$$\begin{aligned}
&\left\{ [I] + \alpha \cdot \Delta t \cdot [C] \cdot \left([D] \cdot \left[{}^{t+\alpha\Delta t}\sigma_k^{(i)} \right] \cdot \left\{ \frac{\partial \gamma}{\partial \sigma} \right\}_{\left[{}^{t+\alpha\Delta t}\sigma_k^{(i)} \right]} + {}^{t+\alpha\Delta t}\gamma_k \cdot [D] \right) \right\} \cdot \\
\left[{}^{t+\Delta t}\sigma_{k+1}^{(i)} \right] &= [C] \cdot \left\{ \left[{}^{t+\Delta t}\varepsilon^{(i)} \right] - \left[{}^t\varepsilon^f \right] - \Delta t \cdot \left[{}^{t+\alpha\Delta t}\gamma_k^{(i)} \right] \cdot [D] \cdot \left[{}^{t+\alpha\Delta t}\sigma_k^{(i)} \right] + \alpha \cdot \Delta t \cdot \right. \\
&\left([D] \cdot \left[{}^{t+\alpha\Delta t}\sigma_k^{(i)} \right] \cdot \left\{ \frac{\partial \gamma}{\partial \sigma} \right\}_{\left[{}^{t+\alpha\Delta t}\sigma_k^{(i)} \right]} + {}^{t+\alpha\Delta t}\gamma_k^{(i)} \cdot [D] \right) \cdot {}^{t+\alpha\Delta t}\sigma_k \left. \right\} + [\sigma_o] + [\sigma_\theta] \quad (B.43)
\end{aligned}$$

A equação matricial em B.43 pode ser deduzida aplicando-se diretamente Newton-Raphson sobre a equação:

$$f\left(\left[{}^{t+\Delta t}\sigma \right]\right) = \left[{}^{t+\Delta t}\sigma \right] - [C] \cdot \left(\left[{}^{t+\Delta t}\varepsilon^{(i)} \right] - \left[{}^{t+\Delta t}\varepsilon^f \right] \right) + [\sigma_o] + [\sigma_\theta] \quad (B.44)$$

Calculado o valor do tensor de tensões ${}^{t+\Delta t}\sigma_{k+1}$ pode-se obter o tensor de deformações por fluência $\left[{}^{t+\Delta t}\varepsilon_{k+1}^{f(i)} \right]$:

$$\begin{aligned}
\left[{}^{t+\Delta t}\varepsilon_{k+1}^{f(i)} \right] &= \left[{}^t\varepsilon^f \right] + \Delta t \cdot \left[{}^{t+\alpha\Delta t}\gamma_k^{(i)} \right] \cdot [D] \cdot \left[{}^{t+\alpha\Delta t}\sigma_k^{(i)} \right] + \alpha \cdot \Delta t \cdot \left([D] \cdot \left[{}^{t+\alpha\Delta t}\sigma_k^{(i)} \right] \cdot \right. \\
&\left. \left\{ \frac{\partial \gamma}{\partial \sigma} \right\}_{\left[{}^{t+\alpha\Delta t}\sigma_k \right]} + {}^{t+\alpha\Delta t}\gamma_k \cdot [D] \right) \cdot \left(\left[{}^{t+\alpha\Delta t}\sigma_{k+1}^{(i)} \right] - \left[{}^{t+\alpha\Delta t}\sigma_k^{(i)} \right] \right) \quad (B.45)
\end{aligned}$$

O processo é interrompido quando:

$$\left(\left[{}^{t+\Delta t}\sigma_{k+1}^{(i)} \right] - \left[{}^{t+\Delta t}\sigma_k^{(i)} \right] \right) \leq tol \quad (B.46)$$

Substituindo-se $[\sigma_{k+1}^{(i)}]^{t+\Delta t}$, após ter sido satisfeito o critério de convergência, no sistema de equações de equilíbrio B.35, obtém-se mais um passo iterativo no campo de deslocamentos e, portanto, mais um passo iterativo no campo das deformações, ou seja:

$$[K] \cdot [\Delta U^{i+1}] = [{}^{t+\Delta t}R] - \int_V [B]^T \cdot [{}^{t+\Delta t}\sigma_{k+1}^{(i)}] dV \quad (B.47)$$

$$[{}^{t+\Delta t}U^{i+1}] = [{}^{t+\Delta t}U^i] + [\Delta U^{i+1}] \quad (B.48)$$

$$[{}^{t+\Delta t}\varepsilon^{i+1}] = [B] \cdot [{}^{t+\Delta t}U^{i+1}] \quad (B.49)$$

Se $[\Delta U^{i+1}]$ não satisfaz uma tolerância pré-determinada, reinicia-se o processo global iterativo utilizando-se o novo valor de $[{}^{t+\Delta t}\varepsilon^{i+1}]$ na recursividade em (B.43). Pode-se provar que o processo incremental iterativo do algoritmo implícito anterior é incondicionalmente estável para $\alpha > \frac{1}{2}$.

B.4. Método de Newton-Raphson com sub-iteração

A equação matricial recursiva (B.43) é aplicada para as tensões definidas nos extremos do intervalo de tempo, ou seja, repetindo as expressões básicas.

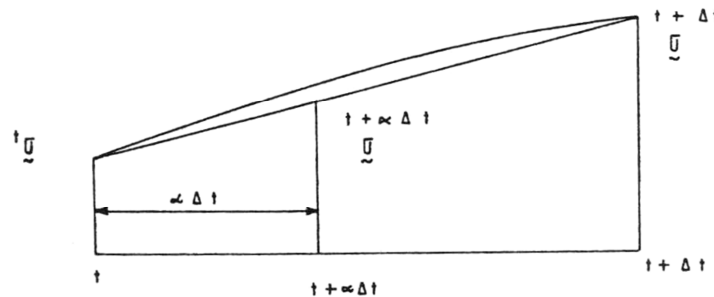


Figura B.3: Método de Newton-Raphson com sub-iteração (modificado – Costa, 1984).

$$[{}^{t+\alpha\Delta t}\sigma] = \frac{[{}^{t+\Delta t}\sigma] - [{}^t\sigma]}{\Delta t} \cdot \alpha \cdot \Delta t + {}^t\sigma \quad (B.50)$$

$$[{}^{t+\alpha\Delta t}\sigma] = (1 - \alpha) \cdot [{}^t\sigma] + \alpha \cdot [{}^{t+\Delta t}\sigma] \quad (B.51)$$

$$[{}^{t+\Delta t}\sigma] = [C] \cdot ([{}^{t+\Delta t}\varepsilon] - [{}^{t+\Delta t}\varepsilon^f]) + [\sigma_o] + [\sigma_\theta] \quad (B.52)$$

Pretende-se fazer a integração com o tempo do tensor de deformações por fluência pelo método α :

$$[{}^{t+\Delta t}\varepsilon^f] = [{}^t\varepsilon^f] + \Delta t \cdot {}^{t+\alpha\Delta t}\dot{\varepsilon}^f \quad (\text{B.53})$$

Onde:

$${}^{t+\alpha\Delta t}\dot{\varepsilon}^f = {}^{t+\alpha\Delta t}\gamma \cdot [D] \cdot [{}^{t+\alpha\Delta t}\sigma] \quad (\text{B.54})$$

$${}^{t+\alpha\Delta t}\gamma = \frac{3}{2} \cdot \frac{{}^{t+\alpha\Delta t}\dot{\varepsilon}^f}{{}^{t+\alpha\Delta t}\sigma_e} \quad (\text{B.55})$$

O incremento do tensor de deformações por fluência está sendo calculado pela multiplicação de Δt pela derivada de $[\varepsilon^f]$ em $t + \alpha \cdot \Delta t$. Quanto menor o intervalo de tempo, melhor será a aproximação.

Subdividindo-se o intervalo de tempo Δt em n sub-intervalos de tempo δt a integração anterior garante uma aproximação sensivelmente superior.

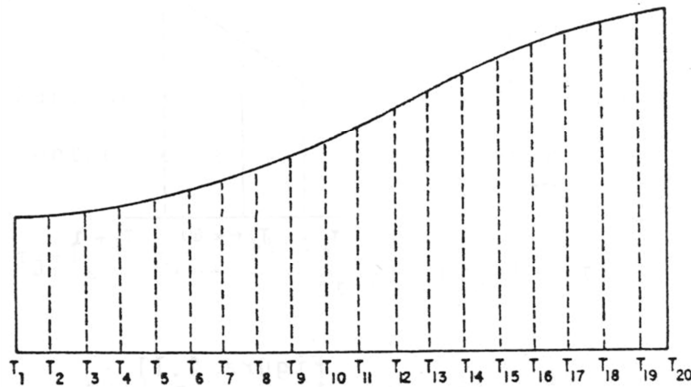


Figura B.4: Subdivisão de intervalos de tempo Δt em n sub-intervalos de tempo δt (modificado – Costa, 1984).

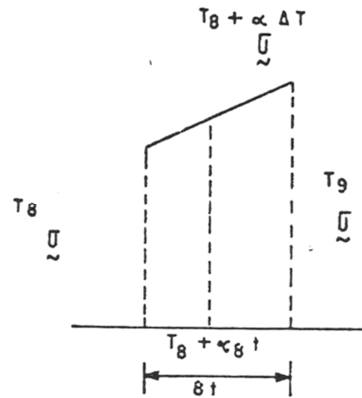


Figura B.5: Subdivisão de intervalos de tempo Δt em n sub-intervalos de tempo δt (modificado – Costa, 1984).

$$[T_{8+\delta T} \varepsilon^f] = [T_8 \varepsilon^f] + \Delta t \cdot [T_{8+\alpha \Delta t} \varepsilon^f] = [T_9 \varepsilon^f] \quad (\text{B.56})$$

A aproximação linear conduz a um resultado mais satisfatório. Entre dois subintervalos de tempo consecutivos quaisquer, tem-se:

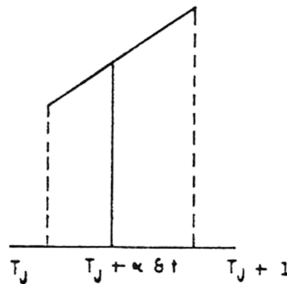


Figura B.6: Subintervalos de tempo consecutivos (modificado – Costa, 1984).

$$[T_{j+\alpha \delta t} \sigma] = (1 - \alpha) [T_j \sigma] + \alpha \cdot [T_{j+1} \sigma] \quad (\text{B.57})$$

$$[T_{j+1} \varepsilon^f] = [T_j \varepsilon^f] + \delta t \cdot T_{j+\alpha \delta t} \gamma \cdot [D] \cdot [T_{j+\alpha \delta t} \sigma] \quad (\text{B.58})$$

$$[T_{j+1} \sigma] = [C] \left([T_{j+1} \varepsilon] - [T_{j+1} \varepsilon^f] \right) + [\sigma_o] + [\sigma_\theta] \quad (\text{B.59})$$

O tensor $[T_{j+1} \varepsilon]$ não é obtido diretamente do campo de deslocamentos $[t+\Delta t U]$, pois o mesmo é obtido no final do intervalo de tempo $t + \Delta t$ a partir do sistema de equações de equilíbrio.

Reescrevendo-se o sistema de equações de equilíbrio:

$$[K] \cdot [\Delta U^{i+1}] = [{}^{t+\Delta t}R] - \int_V [B]^T \cdot {}^{t+\Delta t}\sigma_{k+1} dV \quad (B.60)$$

Resolvido o sistema B.60 tem-se:

$$[{}^{t+\Delta t}U^{i+1}] = [{}^{t+\Delta t}U^i] + [\Delta U^{i+1}] \quad (B.61)$$

Com $[{}^{t+\Delta t}U^{i+1}]$ calcula-se $[{}^{t+\Delta t}\varepsilon^{i+1}]$:

$$[{}^{t+\Delta t}\varepsilon^{i+1}] = [B] \cdot [{}^{t+\Delta t}U^{i+1}] \quad (B.62)$$

Para se obter o valor de $[{}^{T_{j+1}}\varepsilon]$ admite-se que a variação de $[\varepsilon]$ entre t e $t + \Delta t$ seja linear:

$$[{}^{T_{j+1}}\varepsilon] = [{}^t\varepsilon] + \frac{{}^{t+\Delta t}\varepsilon - {}^t\varepsilon}{\Delta t} (T_{j+1} - t) \quad (B.63)$$

Onde $T_{j+1} = T_j + \delta t$ e $\delta t = \frac{\Delta t}{n}$

Aplicando-se Newton-Raphson em B.58 e B.59 chega-se à equação matricial de recursividade para o subintervalo de tempo T_j e T_{j+1} :

$$\left\{ [I] + \alpha \cdot \delta t \cdot [C] \cdot \left([D] \cdot [{}^{T_j+\alpha\delta t}\sigma^{(i)}] \cdot \left\{ \frac{\partial \gamma^{(i)}}{\partial \sigma} \right\} [{}^{T_j+\alpha\delta t}\sigma^{(i)}] + {}^{T_j+\alpha\delta t}\gamma^{(i)} \cdot [D] \right) \right\} \cdot [{}^{T_{j+1}}\sigma_{k+1}^{(i)}] = [C] \cdot \left\{ [{}^{T_{j+1}}\varepsilon^{(i)}] - [{}^{T_j}\varepsilon^f] - \delta t \cdot [{}^{T_j+\alpha\delta t}\gamma_k] \cdot [D] \cdot [{}^{T_j+\alpha\delta t}\sigma_k] + \alpha \cdot \delta t \cdot \left([D] \cdot [{}^{T_j+\alpha\delta t}\sigma_k] \cdot \left\{ \frac{\partial \gamma}{\partial \sigma} \right\} [{}^{T_j+\alpha\delta t}\sigma_k^{(i)}] + {}^{T_j+\alpha\delta t}\gamma_k \cdot [D] \right) \cdot {}^{T_{j+1}}\sigma_k^{(i)} \right\} + [\sigma_o] + [\sigma_\theta] \quad (B.64)$$

O tensor de deformações por fluência é dado por:

$$\begin{aligned}
 [{}^{T_{j+1}}\boldsymbol{\varepsilon}_{k+1}^{f(i)}] &= [{}^{T_j}\boldsymbol{\varepsilon}^{f(i)}] + \delta t \cdot [{}^{T_j+\alpha\delta t}\boldsymbol{\gamma}_k] \cdot [D] \cdot [{}^{T_j+\alpha\delta t}\boldsymbol{\sigma}_k^{(i)}] + \alpha \cdot \delta t \cdot \left([D] \cdot \right. \\
 &\left. [{}^{T_j+\alpha\delta t}\boldsymbol{\sigma}_k^{(i)}] \cdot \left\{ \frac{\partial \boldsymbol{\gamma}}{\partial \boldsymbol{\sigma}} \right\}_{[{}^{T_j+\alpha\delta t}\boldsymbol{\sigma}_k]} + {}^{T_j+\alpha\delta t}\boldsymbol{\gamma}_k \cdot [D] \right) \cdot \left([{}^{T_j+\alpha\delta t}\boldsymbol{\sigma}_{k+1}^{(i)}] - [{}^{T_j+\alpha\delta t}\boldsymbol{\sigma}_k^{(i)}] \right)
 \end{aligned}
 \tag{B.65}$$

Examinando-se o algoritmo implícito anterior, verifica-se que o incremento de deformações não-lineares é calculado no instante $t + \alpha \cdot \Delta t$ em função do estado de tensões $[{}^t\boldsymbol{\sigma}]$ e $[{}^{t+\Delta t}\boldsymbol{\sigma}]$.

C. Dedução da equação de cálculo do incremento no tensor de deformações por fluência entre dois instantes t_n e t_{n-1} por Odqvist, 1974

No presente trabalho, adota-se a formulação apresentada por Odqvist, na qual a equação constitutiva é deduzida inicialmente para a fase de fluência secundária, onde o tensor de velocidades de deformação é constante com o tempo adotando-se como lei constitutiva para a velocidade de deformação a função potencial de Norton.

Posteriormente, esta formulação é estendida para ambas as fases de fluência, transiente ou secundária, para uma lei constitutiva qualquer.

Admitindo-se a incompressibilidade do material.

$$\dot{\varepsilon}_{kk} = \dot{\varepsilon}_{11} + \dot{\varepsilon}_{22} + \dot{\varepsilon}_{33} = 0 \quad (\text{C.1})$$

Adota-se, do mesmo modo que Von Mises, a velocidade de dissipação da energia plástica acumulada $\dot{\omega}$:

$$W = \sigma_{ij}\varepsilon_{ij} \rightarrow \dot{\omega} = \sigma_{ij}\dot{\varepsilon}_{ij} = S_{ij}\dot{\varepsilon}_{ij} + \frac{1}{3}\delta_{ij}\sigma_{kk}\dot{\varepsilon}_{ij} = S_{ij}\dot{\varepsilon}_{ij} \quad (\text{C.2})$$

Considerando (1):

$$\dot{\omega} = S_{ij}\dot{\varepsilon}_{ij} \quad (\text{C.3})$$

Se a velocidade de dissipação da energia plástica acumulada varia com o tempo, permanecendo constante o tensor de velocidades de deformação ($\dot{\varepsilon}_{ij}$), (fase de fluência secundária) pode-se escrever:

$$\delta\dot{\omega} = \delta S_{ij}\dot{\varepsilon}_{ij} \rightarrow \dot{\varepsilon}_{ij} = \frac{\partial\dot{\omega}}{\partial S_{ij}} \quad (\text{C.4})$$

Considerando-se como Von Mises a hipótese de que $\dot{\omega}$ é uma função potencial plástica de escoamento do material, função de uma grandeza escalar

σ_e , dependente das 6 componentes de tensões desviadoras e invariantes segundo o sistema cartesiano, a equação anterior pode ser escrita por:

$$\dot{\varepsilon}_{ij} = \frac{\partial \dot{\omega}}{\partial \sigma_e} \cdot \frac{\partial \sigma_e}{\partial S_{ij}} \quad (C.5)$$

Em um instante t qualquer pode ser escrito por:

$$\dot{\varepsilon}_{ij} = {}^t k \cdot S_{ij} \quad (C.6)$$

Onde ${}^t k$ é função de σ_e .

Com a equação C.6, chega-se a mais uma hipótese em consequência da formulação proposta, ou seja, a da coaxialidade entre o tensor de velocidade de deformação com o tensor de tensões desviadoras.

Com esta nova hipótese pode-se escrever:

$$\begin{aligned} \dot{\varepsilon}_x^f &= k \cdot S_x \\ \dot{\varepsilon}_y^f &= k \cdot S_y \\ \dot{\varepsilon}_z^f &= k \cdot S_z \\ \dot{\varepsilon}_{xy}^f &= k \cdot \tau_{xy} \\ \dot{\varepsilon}_{xz}^f &= k \cdot \tau_{xz} \\ \dot{\varepsilon}_{yz}^f &= k \cdot \tau_{yz} \end{aligned} \quad (C.7)$$

Também são válidas as seguintes relações de proporcionalidade:

$$\begin{aligned} (\dot{\varepsilon}_x^f - \dot{\varepsilon}_y^f) &= k \cdot (S_x - S_y) \\ (\dot{\varepsilon}_y^f - \dot{\varepsilon}_z^f) &= k \cdot (S_y - S_z) \\ (\dot{\varepsilon}_z^f - \dot{\varepsilon}_x^f) &= k \cdot (S_z - S_x) \\ \dot{\varepsilon}_{xy}^f &= k \cdot \tau_{xy} \\ \dot{\varepsilon}_{xz}^f &= k \cdot \tau_{xz} \\ \dot{\varepsilon}_{yz}^f &= k \cdot \tau_{yz} \end{aligned} \quad (C.8)$$

Elevando-se ao quadrado as equações e multiplicando as três últimas equações por 6 e finalmente somando-se todas as equações, resulta:

$$\begin{aligned} & (\dot{\varepsilon}_x^f)^2 + (\dot{\varepsilon}_y^f)^2 - 2 \cdot \dot{\varepsilon}_x^f \cdot \dot{\varepsilon}_y^f + (\dot{\varepsilon}_y^f)^2 + (\dot{\varepsilon}_z^f)^2 - 2 \cdot \dot{\varepsilon}_y^f \cdot \dot{\varepsilon}_z^f + (\dot{\varepsilon}_z^f)^2 + (\dot{\varepsilon}_x^f)^2 - 2 \cdot \dot{\varepsilon}_z^f \cdot \\ & \dot{\varepsilon}_x^f + 6 \cdot (\dot{\varepsilon}_{xz}^f)^2 + 6 \cdot (\dot{\varepsilon}_{xy}^f)^2 + 6 \cdot (\dot{\varepsilon}_{yz}^f)^2 = k^2(S_x^2 + S_y^2 - 2 \cdot S_x \cdot S_y + S_y^2 + S_z^2 - 2 \cdot \\ & S_y \cdot S_z + S_z^2 + S_x^2 - 2 \cdot S_z \cdot S_x + 6 \cdot \tau_{xy}^2 + 6 \cdot \tau_{xz}^2 + 6 \cdot \tau_{yz}^2) \quad (C.9) \end{aligned}$$

$$\begin{aligned} & \rightarrow 2 \cdot (\dot{\varepsilon}_x^f)^2 + 2 \cdot (\dot{\varepsilon}_y^f)^2 + 2 \cdot (\dot{\varepsilon}_z^f)^2 - 2 \cdot \dot{\varepsilon}_x^f \cdot \dot{\varepsilon}_y^f - 2 \cdot \dot{\varepsilon}_y^f \cdot \dot{\varepsilon}_z^f - 2 \cdot \dot{\varepsilon}_z^f \cdot \dot{\varepsilon}_x^f + \\ & 6 \cdot (\dot{\varepsilon}_{xy}^f)^2 + 6 \cdot (\dot{\varepsilon}_{xz}^f)^2 + 6 \cdot (\dot{\varepsilon}_{yz}^f)^2 = k^2(2 \cdot S_x^2 + 2 \cdot S_y^2 + 2 \cdot S_z^2 - 2 \cdot S_x \cdot S_y - 2 \cdot \\ & S_y \cdot S_z - 2 \cdot S_z \cdot S_x + 6 \cdot \tau_{xy}^2 + 6 \cdot \tau_{xz}^2 + 6 \cdot \tau_{yz}^2) \quad (C.10) \end{aligned}$$

Mas,

$$(S_x + S_y + S_z)^2 = 0 = S_x^2 + S_y^2 + S_z^2 + 2 \cdot S_x \cdot S_y + 2 \cdot S_y \cdot S_z + 2 \cdot S_x \cdot S_z \quad (C.11)$$

$$(\dot{\varepsilon}_x^f + \dot{\varepsilon}_y^f + \dot{\varepsilon}_z^f)^2 = 0 = (\dot{\varepsilon}_x^f)^2 + (\dot{\varepsilon}_y^f)^2 + (\dot{\varepsilon}_z^f)^2 + 2 \cdot \dot{\varepsilon}_x^f \cdot \dot{\varepsilon}_y^f + 2 \cdot \dot{\varepsilon}_y^f \cdot \dot{\varepsilon}_z^f + 2 \cdot \dot{\varepsilon}_z^f \cdot \dot{\varepsilon}_x^f \quad (C.12)$$

Substituindo-se estas duas últimas equações na anterior:

$$\begin{aligned} & 3 \cdot (\dot{\varepsilon}_x^f)^2 + 3 \cdot (\dot{\varepsilon}_y^f)^2 + 3 \cdot (\dot{\varepsilon}_z^f)^2 + 6 \cdot (\dot{\varepsilon}_{xy}^f)^2 + 6 \cdot (\dot{\varepsilon}_{xz}^f)^2 + 6 \cdot (\dot{\varepsilon}_{yz}^f)^2 = k^2(3 \cdot S_x^2 + \\ & 3 \cdot S_y^2 + 3 \cdot S_z^2 + 6 \cdot \tau_{xy}^2 + 6 \cdot \tau_{xz}^2 + 6 \cdot \tau_{yz}^2) \quad (C.13) \end{aligned}$$

Dividindo-se a equação por 3:

$$\begin{aligned} & [(\dot{\varepsilon}_x^f)^2 + (\dot{\varepsilon}_y^f)^2 + (\dot{\varepsilon}_z^f)^2 + 2 \cdot (\dot{\varepsilon}_{xy}^f)^2 + 2 \cdot (\dot{\varepsilon}_{xz}^f)^2 + 2 \cdot (\dot{\varepsilon}_{yz}^f)^2] = k^2[S_x^2 + S_y^2 + \\ & S_z^2 + 2 \cdot \tau_{xy}^2 + 2 \cdot \tau_{xz}^2 + 2 \cdot \tau_{yz}^2] \quad (C.14) \end{aligned}$$

Define-se agora a tensão e a deformação generalizada ou efetiva de fluência:

Tensão efetiva de fluência:

$$\sigma_e = \sqrt{\frac{3}{2}} \cdot (S_x^2 + S_y^2 + S_z^2 + 2\tau_{xy}^2 + 2\tau_{xz}^2 + 2\tau_{yz}^2)^{\frac{1}{2}} \quad (\text{C.15})$$

Deformação efetiva de fluência:

$$\dot{\epsilon}_e^f = \sqrt{\frac{2}{3}} \left[(\dot{\epsilon}_x^f)^2 + (\dot{\epsilon}_y^f)^2 + (\dot{\epsilon}_z^f)^2 + 2 \cdot (\dot{\epsilon}_{xy}^f)^2 + 2 \cdot (\dot{\epsilon}_{xz}^f)^2 + 2 \cdot (\dot{\epsilon}_{yz}^f)^2 \right]^{\frac{1}{2}} \quad (\text{C.16})$$

As definições anteriores, com introdução dos termos $\sqrt{\frac{3}{2}}$ e $\sqrt{\frac{2}{3}}$ deve-se à condição desses invariantes de tensões e velocidades de deformação se igualarem à tensão e velocidade de deformação uniaxial no caso das curvas experimentais obtidas nos ensaios uniaxiais.

Substituindo-se as definições (C.15), (C.16) em (C.14):

$$\sigma_e = \sqrt{\frac{3}{2}} \cdot \frac{1}{k} \cdot \sqrt{\frac{3}{2}} \cdot \dot{\epsilon}_e^f \quad (\text{C.17})$$

$$k = \frac{\dot{\epsilon}_e^f}{\sigma_e} \cdot \frac{3}{2} \quad (\text{C.18})$$

Substituindo-se (C.18) em (C.7):

$$\begin{pmatrix} \dot{\epsilon}_x^f \\ \dot{\epsilon}_y^f \\ \dot{\epsilon}_z^f \\ \dot{\epsilon}_{xy}^f \\ \dot{\epsilon}_{xz}^f \\ \dot{\epsilon}_{yz}^f \end{pmatrix} = \frac{3}{2} \cdot \frac{\dot{\epsilon}_e^f}{\sigma_e} \cdot \begin{pmatrix} S_x \\ S_y \\ S_z \\ \tau_{xy} \\ \tau_{xz} \\ \tau_{yz} \end{pmatrix} \quad (\text{C.19})$$

Sabe-se que:

$$\begin{aligned} \dot{\epsilon}_{xy}^f &= \frac{\dot{\gamma}_{xy}^f}{2} \\ \dot{\epsilon}_{xz}^f &= \frac{\dot{\gamma}_{xz}^f}{2} \\ \dot{\epsilon}_{yz}^f &= \frac{\dot{\gamma}_{yz}^f}{2} \end{aligned} \quad (\text{C.20})$$

Substituindo:

$$\begin{pmatrix} \dot{\varepsilon}_x^f \\ \dot{\varepsilon}_y^f \\ \dot{\varepsilon}_z^f \\ \dot{\gamma}_{xy}^f \\ \dot{\gamma}_{xz}^f \\ \dot{\gamma}_{yz}^f \end{pmatrix} = \frac{3}{2} \cdot \frac{\dot{\varepsilon}_e^f}{\sigma_e} \cdot \begin{pmatrix} S_x \\ S_y \\ S_z \\ 2 \cdot \tau_{xy} \\ 2 \cdot \tau_{xz} \\ 2 \cdot \tau_{yz} \end{pmatrix} \quad (\text{C.21})$$

Finalmente pode-se empregar como equação constitutiva geral a equação:

$$\frac{d\varepsilon_{ij}}{dt} = \frac{3}{2} \cdot \frac{1}{\sigma_e} \cdot \dot{\varepsilon}_e \cdot S_{ij} \quad (\text{C.22})$$

A relação entre ε_e e σ_e pode seguir a lei empírica de fluência.

Esta equação é usada no cálculo do incremento no tensor de deformações por fluência entre dois instantes t_n e t_{n-1} por Odqvist (1974):

$$\Delta \varepsilon^f = \frac{3}{2} \frac{\Delta \varepsilon_e}{\sigma_{e,t=t_0}} \cdot [S_{t=t_0}] \quad (\text{C.23})$$